

**Предварительные результаты исследования  
фрагментации ядер  $^{9,10}\text{C}$  и  $^{12}\text{N}$  на ядрах  
фотоэмulsionии**

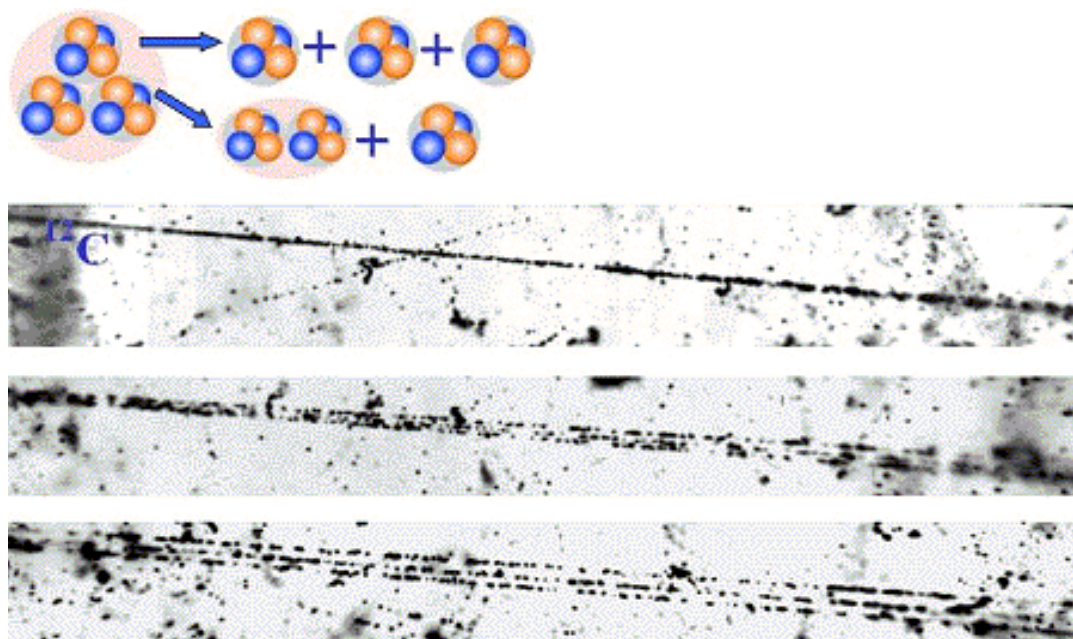
**Д.А. Артеменков, Д.О. Кривенков, К.З. Маматкулов,  
Р.Р. Каттабеков, П.И. Зарубин  
Сотрудничество БЕККЕРЕЛЬ**

ELEMENTARY PARTICLES AND FIELDS  
Experiment

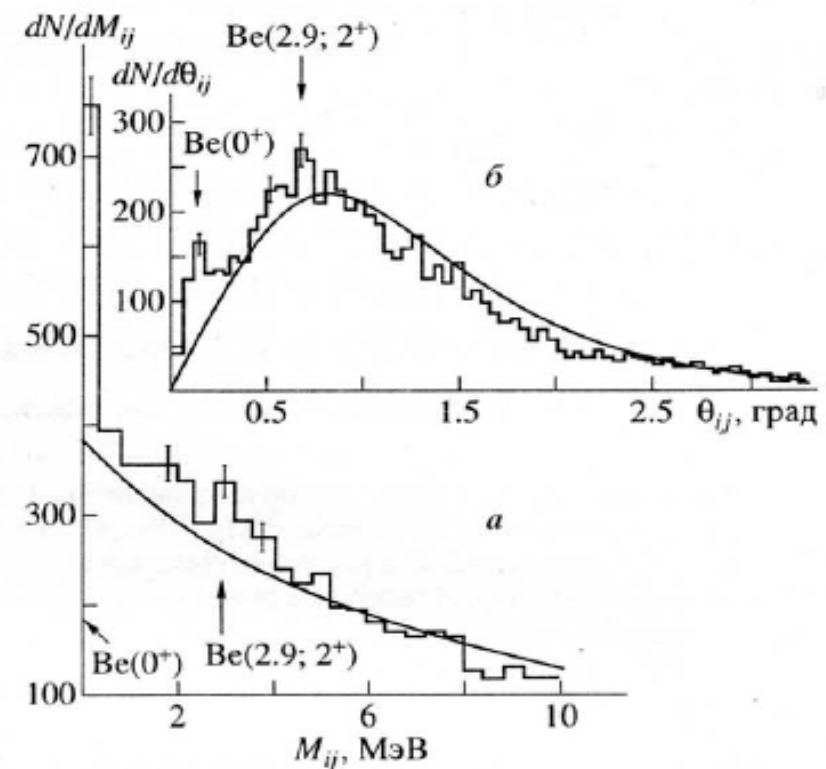
**Coherent Dissociation  $^{12}\text{C} \rightarrow 3\alpha$  in Lead-Enriched Emulsion  
at 4.5 GeV/c per Nucleon**

V. V. Belaga, A. A. Benjaza<sup>1)</sup>, V. V. Rusakova, J. A. Salamov<sup>2)</sup>, and G. M. Chernov

$^{12}\text{C} \rightarrow 3\alpha$ , 3.65 A GeV



(PAVICOM image)



# Few-Body Systems

Vol. 44, No. 1-4, 2008

Proceedings of the 20th European Conference on Few-Body Problems in Physics (EFB20), Pisa, Italy, 10–14 September 2007

Editors: A. Kievsky, M. Viviani

SpringerWienNewYork

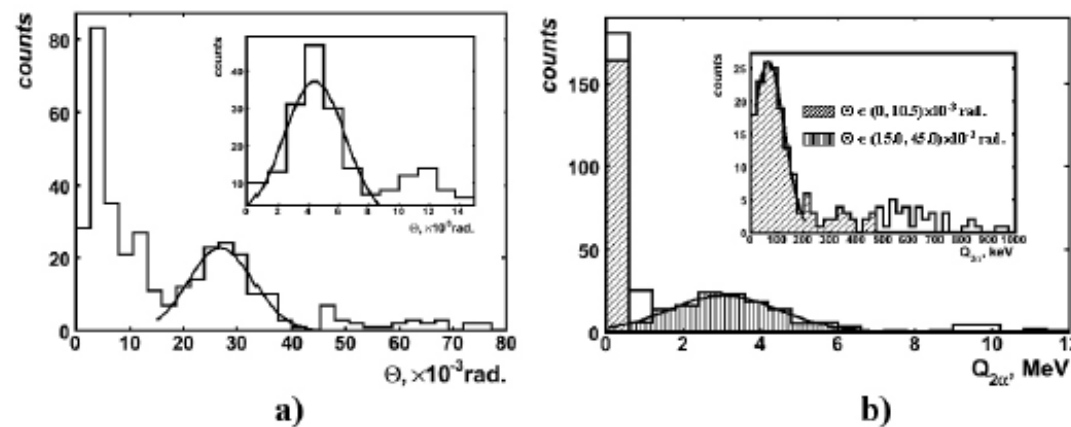
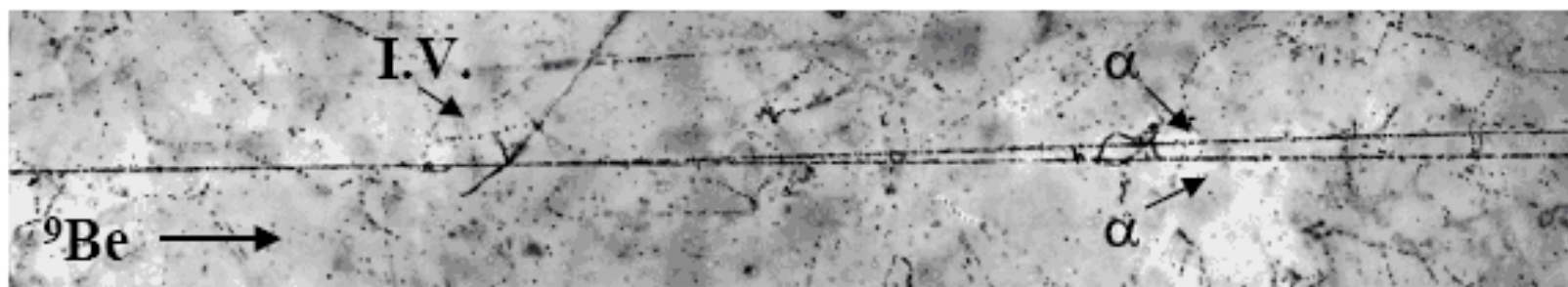


Figure 1. The opening  $\Theta$  angle distribution of  $\alpha$  particles in the  ${}^9\text{Be} \rightarrow 2\alpha$  fragmentation reaction at 1.2 A GeV energy. On the intersection: the  $\Theta$  range from 0 to  $15 \times 10^{-3}$  rad. – a). The invariant energy  $Q_{2\alpha}$  distribution of  $\alpha$  particle pairs in the  ${}^9\text{Be} \rightarrow 2\alpha$  fragmentation reaction at 1.2 A GeV energy. On the intersection: the  $Q_{2\alpha}$  range from 0 to 1 MeV – b).



Событие фрагментации  ${}^9\text{Be} \rightarrow 2\alpha$ , сопровождающееся расщеплением ядра эмульсии из группы CNO. Отчетливо видны  $\alpha$ -пара, образующаяся при фрагментации первичного ядра  ${}^9\text{Be}$  с энергией 1.2 A ГэВ, и четыре трека фрагментов ядра эмульсии (три коротких  $b$ -трека, один  $g$ -трек).



NATO Science for Peace and Security Series - B:  
Physics and Biophysics

## Progress in High Energy Physics and Nuclear Safety

Edited by  
Viktor Begun  
László L. Jenkovszky  
Aleksander Polainski

Springer

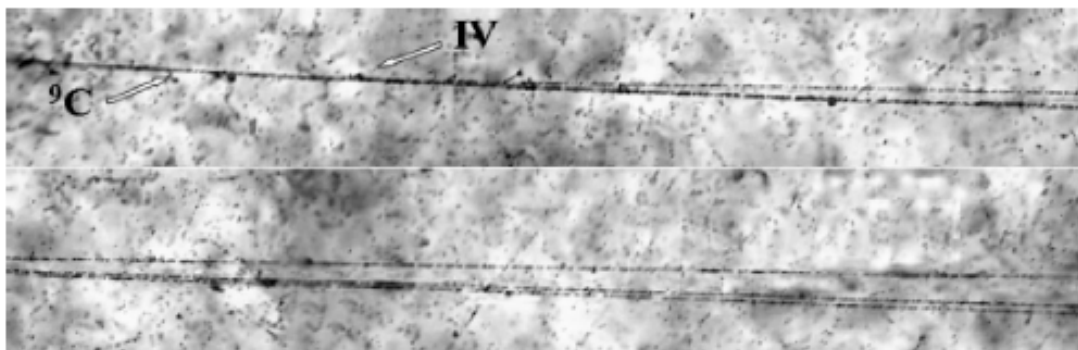


# First Results on the Interactions of Relativistic $^{9}\text{C}$ Nuclei in Nuclear Track Emulsion

D.O. Krivenkov, D.A. Artemenkov, V. Bradnova, M. Haiduc, S.P. Kharlamov,  
V.N. Kondratieva, A.I. Malakhov, A.A. Moiseenko, G.I. Orlova, N.G. Peresadko,  
N.G. Polukhina, P.A. Rukoyatkin, V.V. Rusakova, V.R. Sarkisyan, R. Stanoeva,  
T.V. Shchedrina, S. Vokál, P.I. Zarubin, and I.G. Zarubina

**Abstract** First results of the exposure of nuclear track emulsions in a secondary beam enriched by  $^{9}\text{C}$  nuclei at energy of 1.2 A GeV are described. The presented statistics corresponds to the most peripheral  $^{9}\text{C}$  interactions. For the first time a dissociation  $^{9}\text{C} \rightarrow 3^3\text{He}$  not accompanied by target fragments and mesons is identified.

**Keywords:** relativistic nuclei, nuclear track emulsion, carbon nuclei, peripheral interaction, meson, BECQUEREL Collaboration

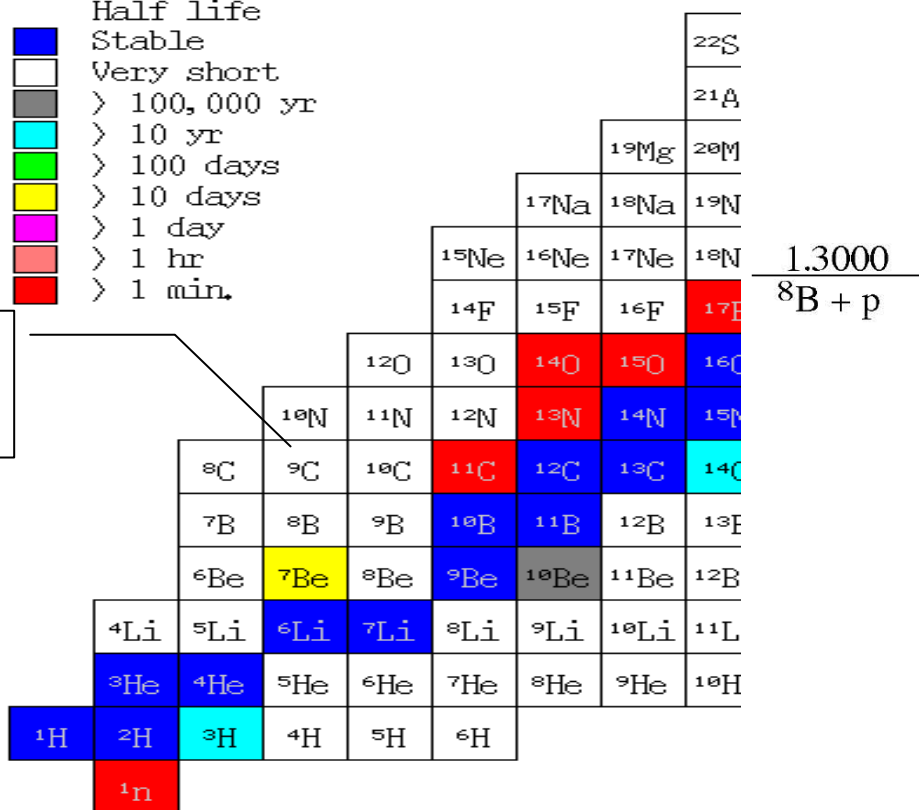


**Fig. 6** Microphotography of “white” star  $^{9}\text{C} \rightarrow 3^3\text{He}$  at 1.2 A GeV. The upper photo shows the dissociation vertex (indicated as IV) and fragments in a narrow cone. Three tracks of relativistic He fragments can clearly be seen in the bottom photo.

$\sum Z_{fr} = 6$	$N_{fr}$	$N_{ws}$	$N_{fr} + N_{ws}$
$^8B + p$	51	15	66
$^7Be + p + p$	47	16	63
$3\ ^3He$	9	16	25
He + 4 H	80	28	108
2 He + 2 H	54	22	76
6 H	6	16	25
...	...	...	...

Half life

- [Blue] Stable
- [White] Very short
- [Grey]  $> 100,000$  yr
- [Cyan]  $> 10$  yr
- [Green]  $> 100$  days
- [Yellow]  $> 10$  days
- [Magenta]  $> 1$  day
- [Red]  $> 1$  hr
- [Dark Red]  $> 1$  min.

 $^9C$ 

$$\frac{4.3957}{^6Be + ^3He}$$

2.218

 $\frac{1}{2}^-$ 

$$\frac{1.4375}{^7Be + 2p}$$

$$J^\pi = \frac{3}{2}^- ; T = \frac{3}{2}$$

 $^9C$

Облучение эмульсий релятивистскими ядрами  ${}^7\text{Be}$ ,  ${}^{10}\text{C}$ ,  ${}^{12}\text{N}$  с энергией 1,2 А ГэВ выполнено на нуклотроне ОИЯИ в октябре 2006 г.  
 Проявка выполнена в ЛФВЭ ОИЯИ (группа В. Брадновой).  
 Поиск событий и измерения выполнялись в ЛФВЭ, ФИАН.

Пластинки (просмотренные)	03, 05, 06, 08, 09, 10, 11, 12
Число событий (общее)	3258
Число событий («белые звезды»)	355 ${}^{10}\text{C}$ – 135 ${}^{12}\text{N}$ – 66
Общая протяженность просмотра	49271,8 см

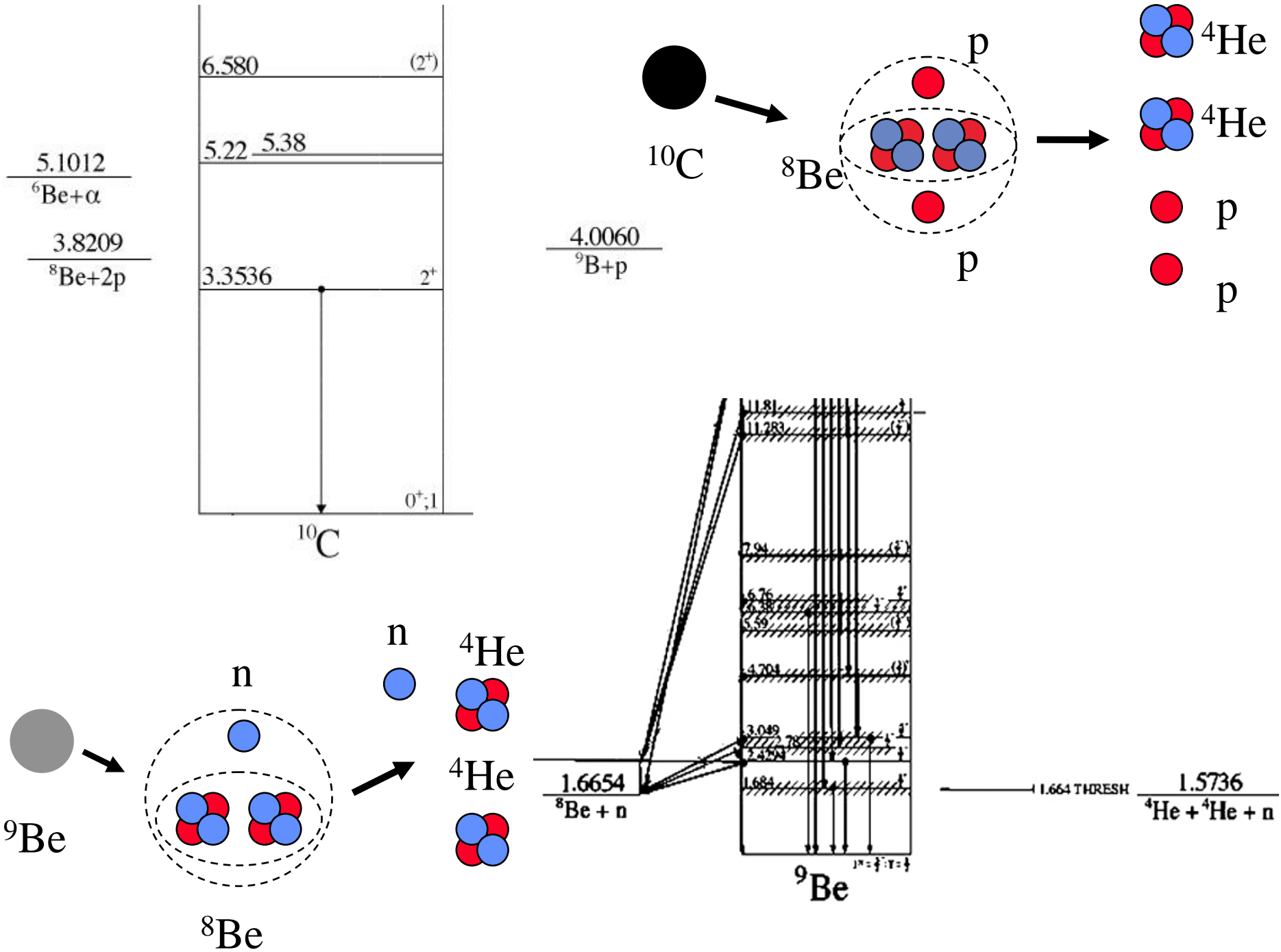


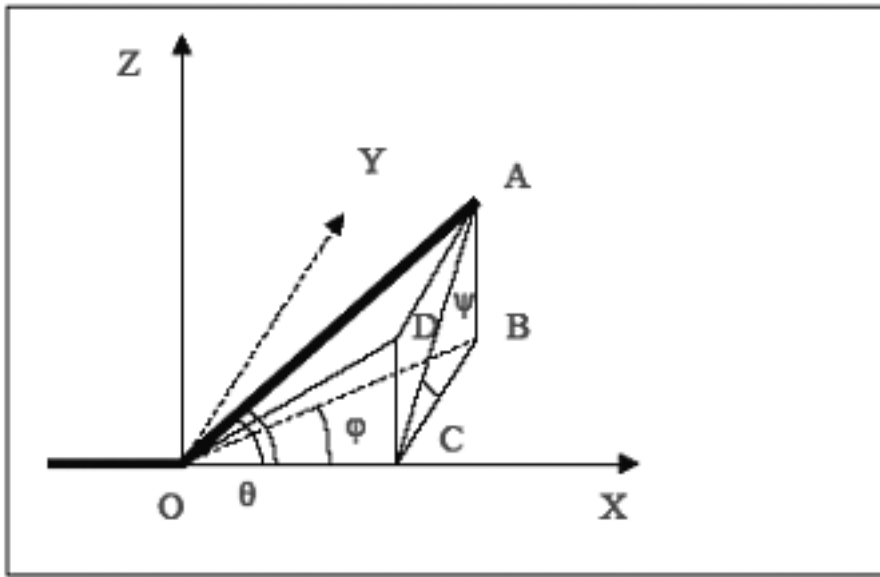
## Наблюдаемые каналы фрагментации ядер $^{10}\text{C}$ («белые звезды»)

$Z_{\text{pr}}$	$\sum Z_{\text{fr}}$	$Z_{\text{fr}} > 3$			$Z=2$	$Z=1$	$\sum N_{\text{ws}} = 135$
<b>6</b>	<b>6</b> <b>(Li+He+H)</b>				<b>1</b>	<b>1</b>	<b>1</b>
<b>6</b>	<b>6</b> <b>(Be+He)</b>			<b>1</b>		<b>1</b>	<b>4</b>
<b>6</b>	<b>6</b> <b>(Li+3H)</b>				<b>1</b>	<b>3</b>	<b>1</b>
<b>6</b>	<b>6</b> <b>(B+H)</b>		<b>1</b>			<b>1</b>	<b>1</b>
<b>6</b>	<b>6</b> <b>(2He+2H)</b>				<b>2</b>	<b>2</b>	<b>111 (178)</b>
<b>6</b>	<b>6</b> <b>(He+4H)</b>				<b>1</b>	<b>4</b>	<b>14</b>
<b>6</b>	<b>6</b> <b>(6H)</b>					<b>6</b>	<b>3</b>

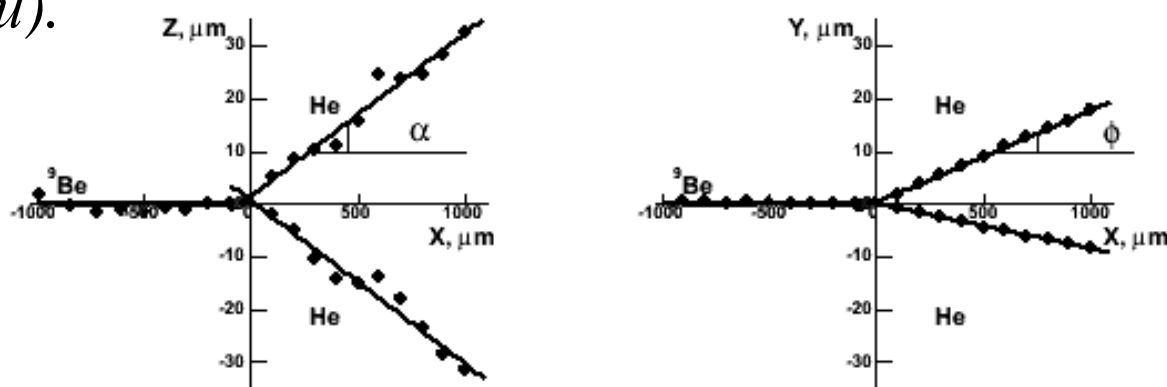
## Наблюдаемые каналы фрагментации ядер $^{12}\text{N}$ («белые звезды»)

$Z_{\text{pr}}$	$\sum Z_{\text{fr}}$	$Z_{\text{fr}} > 3$			$Z=2$	$Z=1$	$\sum N_{\text{ws}} = 66$
7	$^7\text{(Be+3H)}$		1			3	10
7	$^7\text{(B+2H)}$	1				2	6
7	$^7\text{(C+H)}$						2
7	$^7\text{(Be+He+H)}$		1		1	1	2
7	$^7\text{(Li+He+2H)}$			1	1	2	4
7	$^7\text{(Li+2He)}$			1	2		2
7	$^7\text{(3He+H)}$				3	1	4
7	$^6\text{(3He)}$				3		10
7	$^7\text{(2He+3H)}$				2	3	17
7	$^7\text{(He+5H)}$				1	5	7
7	$^7\text{(7H)}$					7	2

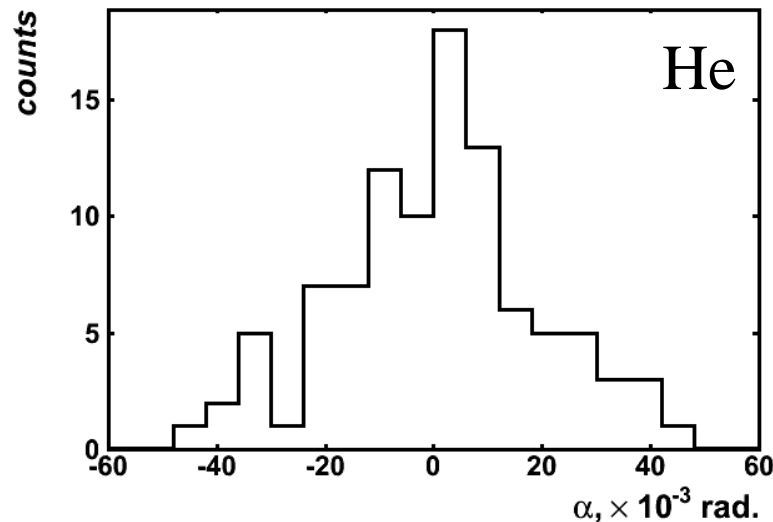




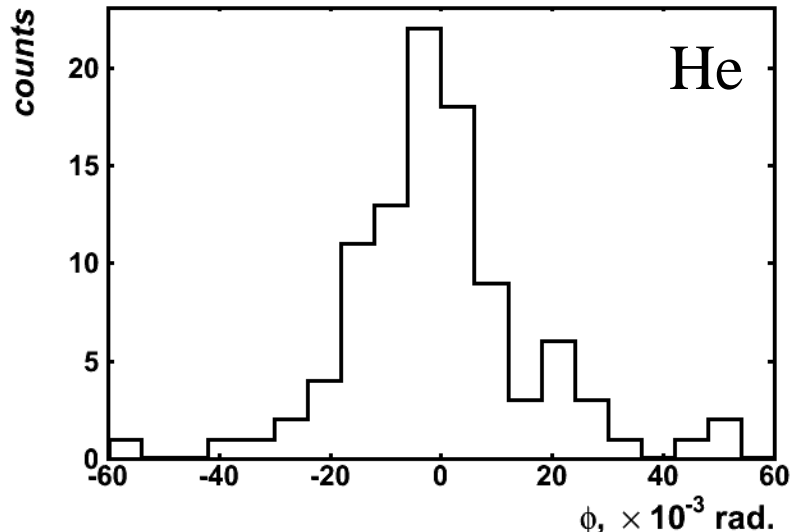
*Определение углов вторичных частиц.*  $OX$  – направление первичной частицы,  $\angle AOC$  – полярный угол  $\theta$ ,  $\angle ACB$  – азимутальный угол  $\psi$ ,  $\angle BOC$  – угол в плоскости эмульсии (плоский угол)  $\phi$ ,  $\angle DOC$  – глубинный угол  $\alpha$  (Все углы приведены в системе координат связанной с первичной частицей).



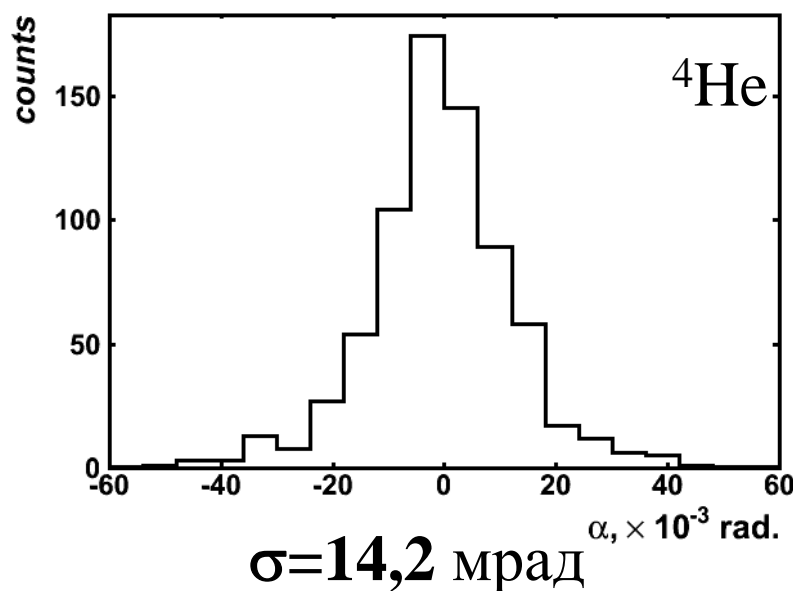
# Распределение фрагментов Не по глубинным и «плоским» углам



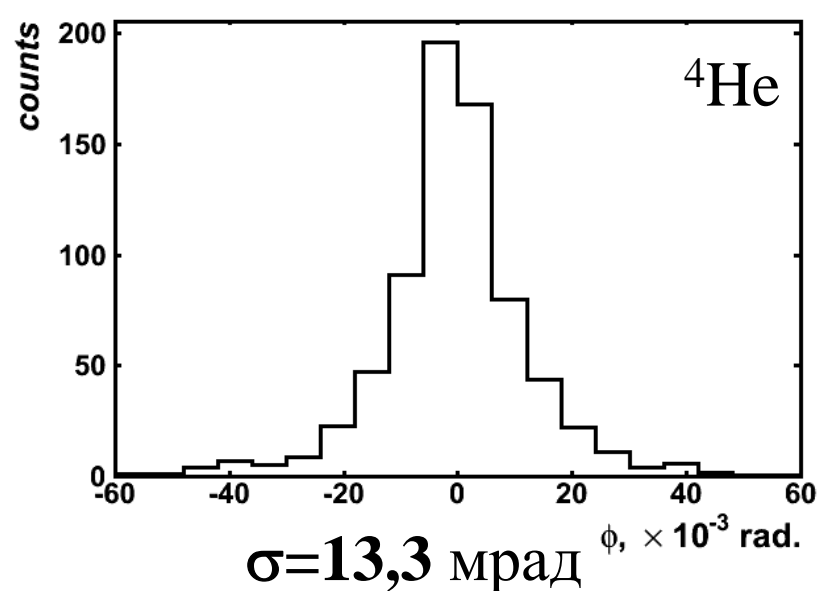
$\sigma=24,2$  мрад



$\sigma=19,9$  мрад

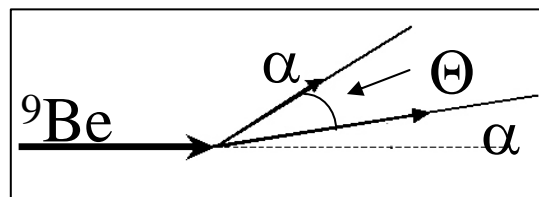
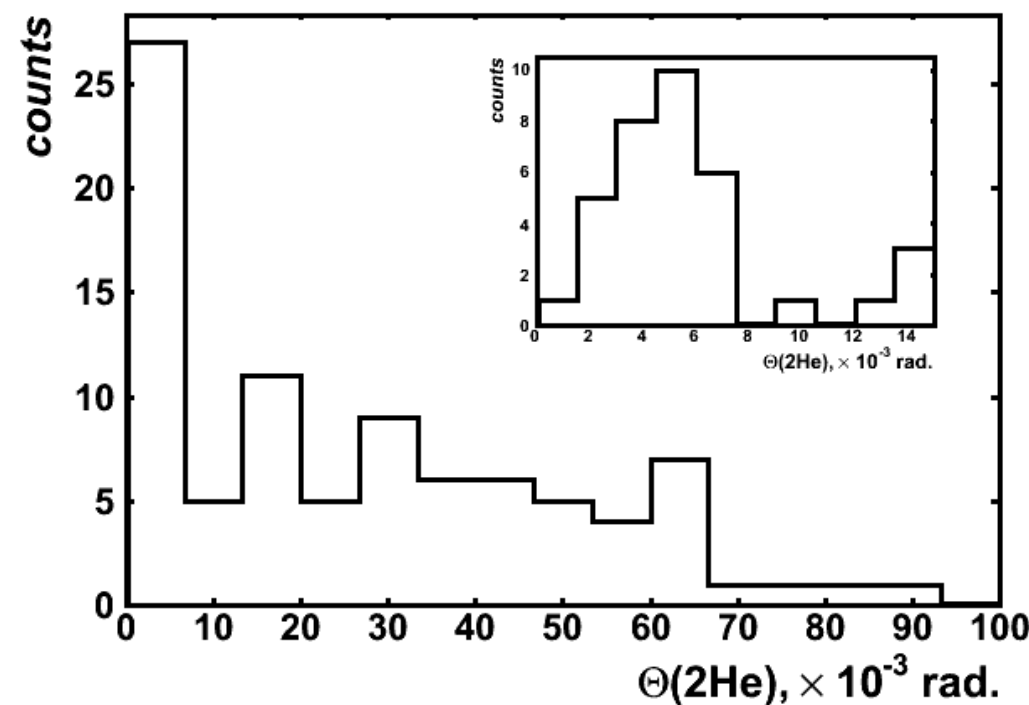
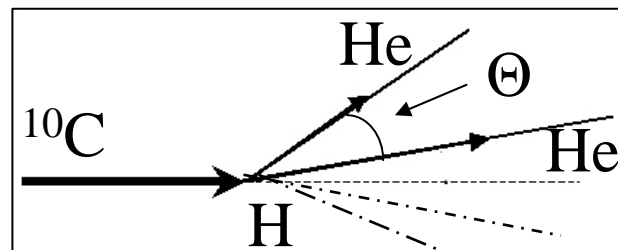


$\sigma=14,2$  мрад



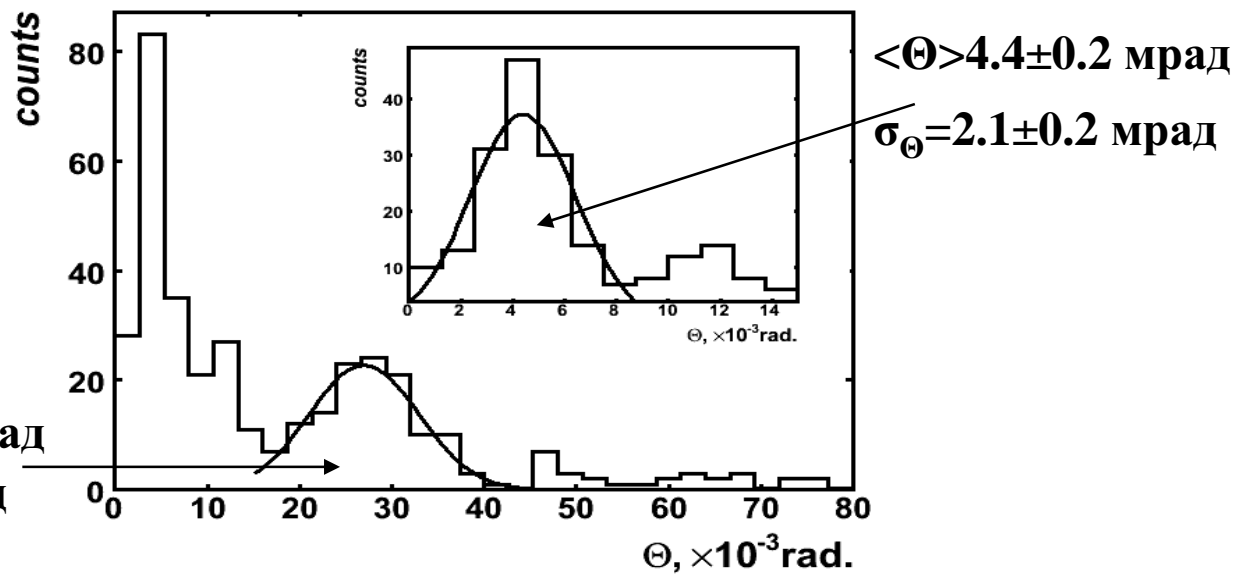
$\sigma=13,3$  мрад

## Распределение фрагментов Не по «парным» углам

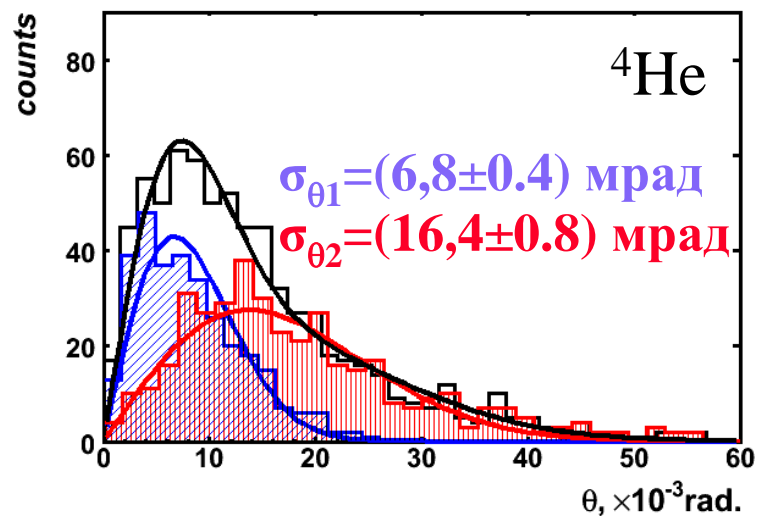
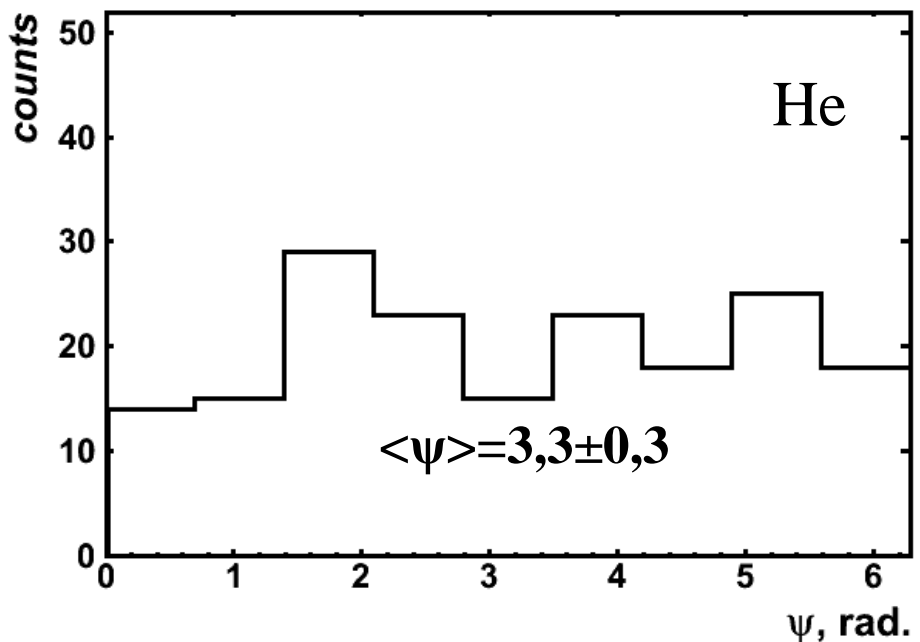
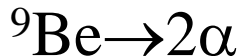
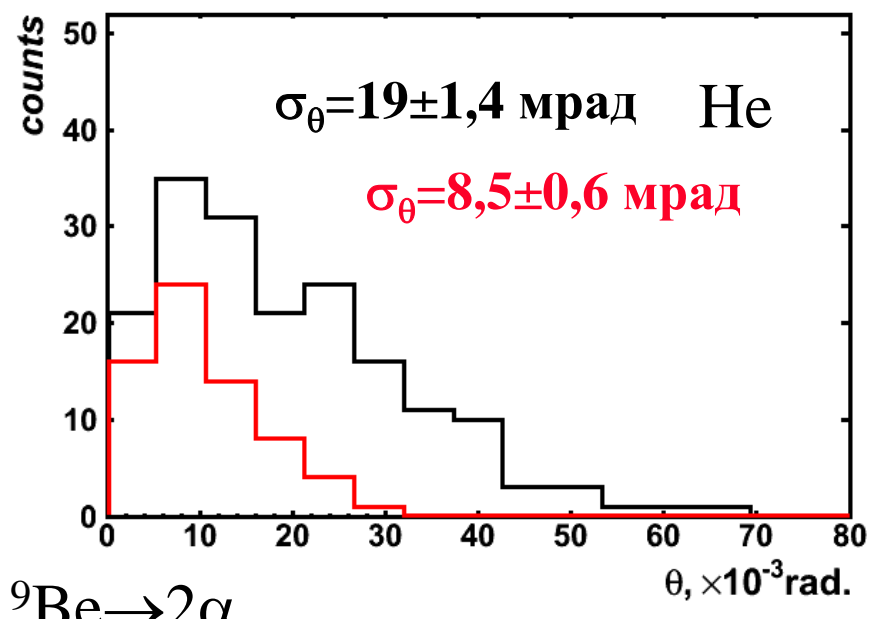


$\langle \Theta \rangle = 27.0 \pm 0.6 \text{ мрад}$

$\sigma_\Theta = 5.9 \pm 0.6 \text{ мрад}$



# Распределение фрагментов He по полярным и азимутальным углам

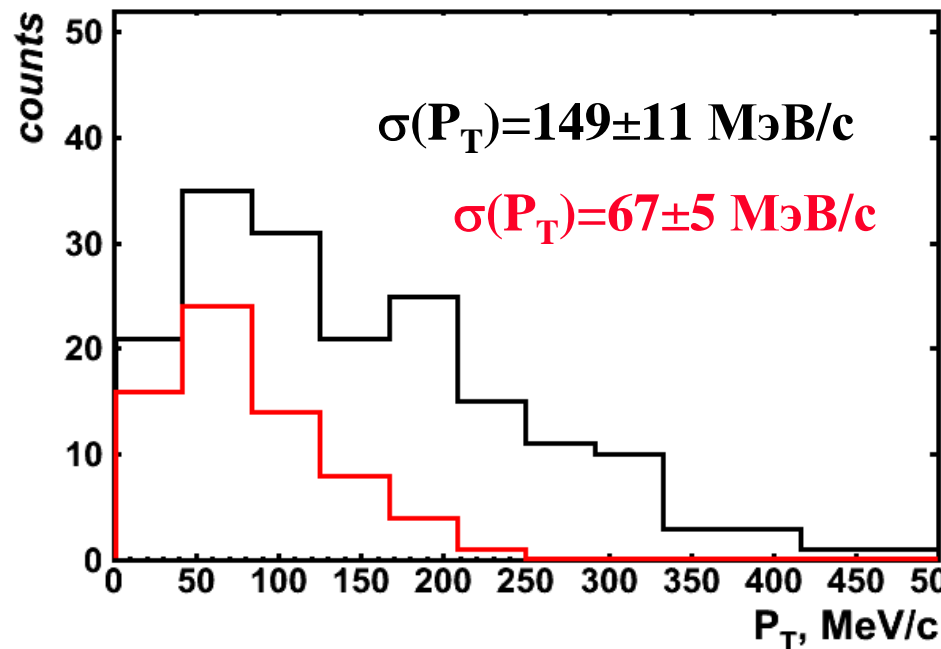


$$f(\theta) = \frac{\theta}{\sigma^2} \exp\left(\frac{-\theta^2}{2 \sigma^2}\right)$$

$$\sigma^2 = \frac{\sum_{i=1}^N \theta_i^2}{2N}$$

# Распределение $\alpha$ -частиц, по величине поперечного импульса $P_T$ в лабораторной системе

$^{10}\text{C} \rightarrow 2\alpha + 2\text{p}$  при условии, что  $\text{He} = ^4\text{He}$ ,  $\text{H} = ^1\text{H}$



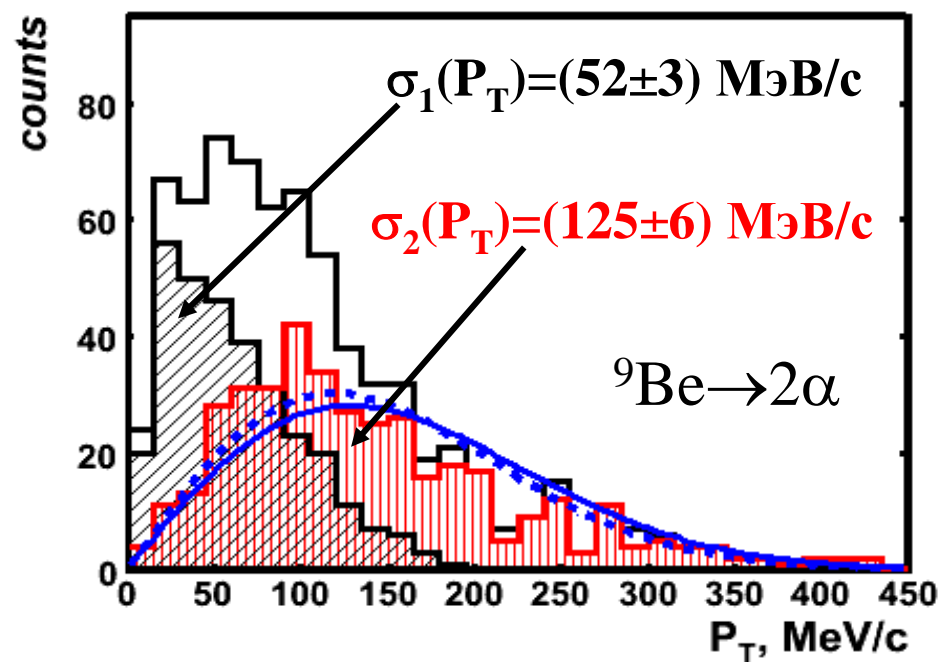
$$P_T = p_0 \cdot A \cdot \sin(\theta)$$

$$* \sigma_F^2 = \sigma_0^2 \frac{A_F (A_0 - A_F)}{A_0 - 1}$$

\*\*для ядра  $^9\text{Be}$   $\sigma_0 = 81.4 \text{ МэВ/с}$

\*A.S. Goldhaber, «Statistical models of fragmentation processes», Physics Letters **53B** (1974)

\*\*Ф.Г. Лепехин, Б.Б. Симонов, «Выход фрагментов  $^8\text{Be}$  при фрагментации  $^{10}\text{B}$  с энергией 1 ГэВ на нуклон в эмульсии», ЯФ **68** (2005)



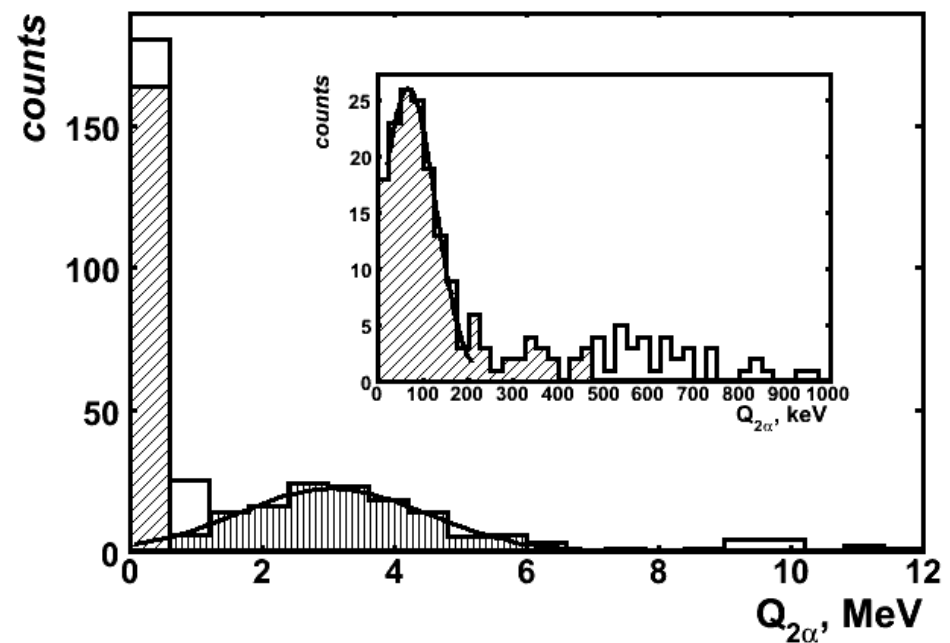
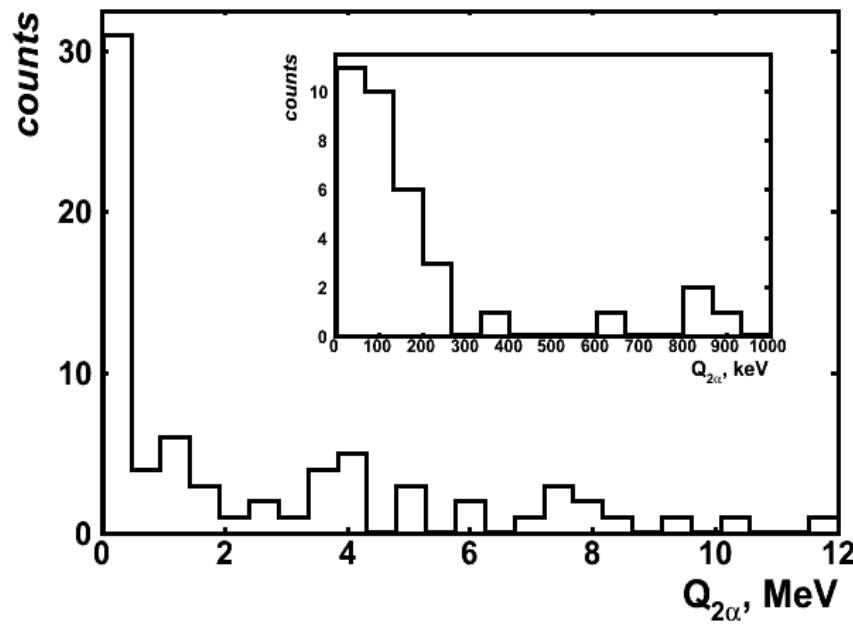
## Распределение событий фрагментации по величине энергии $Q_{2\alpha}$ пары $\alpha$ -частиц

$$M_{2\alpha} = \left[ 2 \left( m_\alpha^2 + E_{\alpha 1} E_{\alpha 2} - p_{\alpha 1} p_{\alpha 2} \cos(\Theta_{12}) \right) \right]^{\frac{1}{2}}$$

$$Q_{2\alpha} = M_{2\alpha} - 2 \cdot m_\alpha$$

$^{10}\text{C} \rightarrow 2\alpha + 2\text{p}$  при условии, что  $\text{He}=^4\text{He}$ ,  $\text{H}=^1\text{H}$

${}^9\text{Be} \rightarrow 2\alpha$



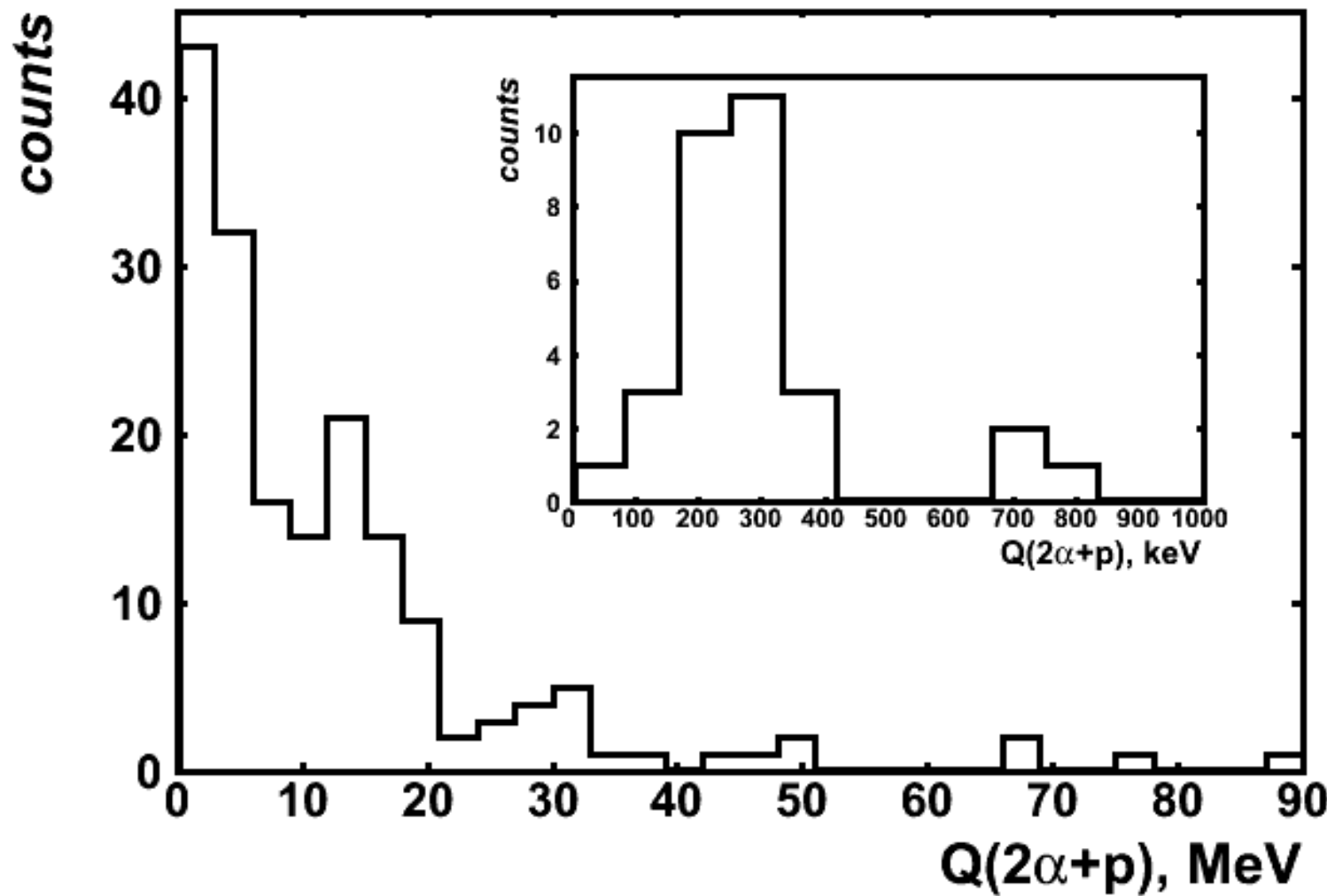
# Распределение событий фрагментации по величине энергии $Q_{2\alpha+p}$ $\alpha$ -частиц и протонов

$^{10}\text{C} \rightarrow 2\alpha + 2p$  при условии, что  $\text{He} = ^4\text{He}$ ,  $\text{H} = ^1\text{H}$

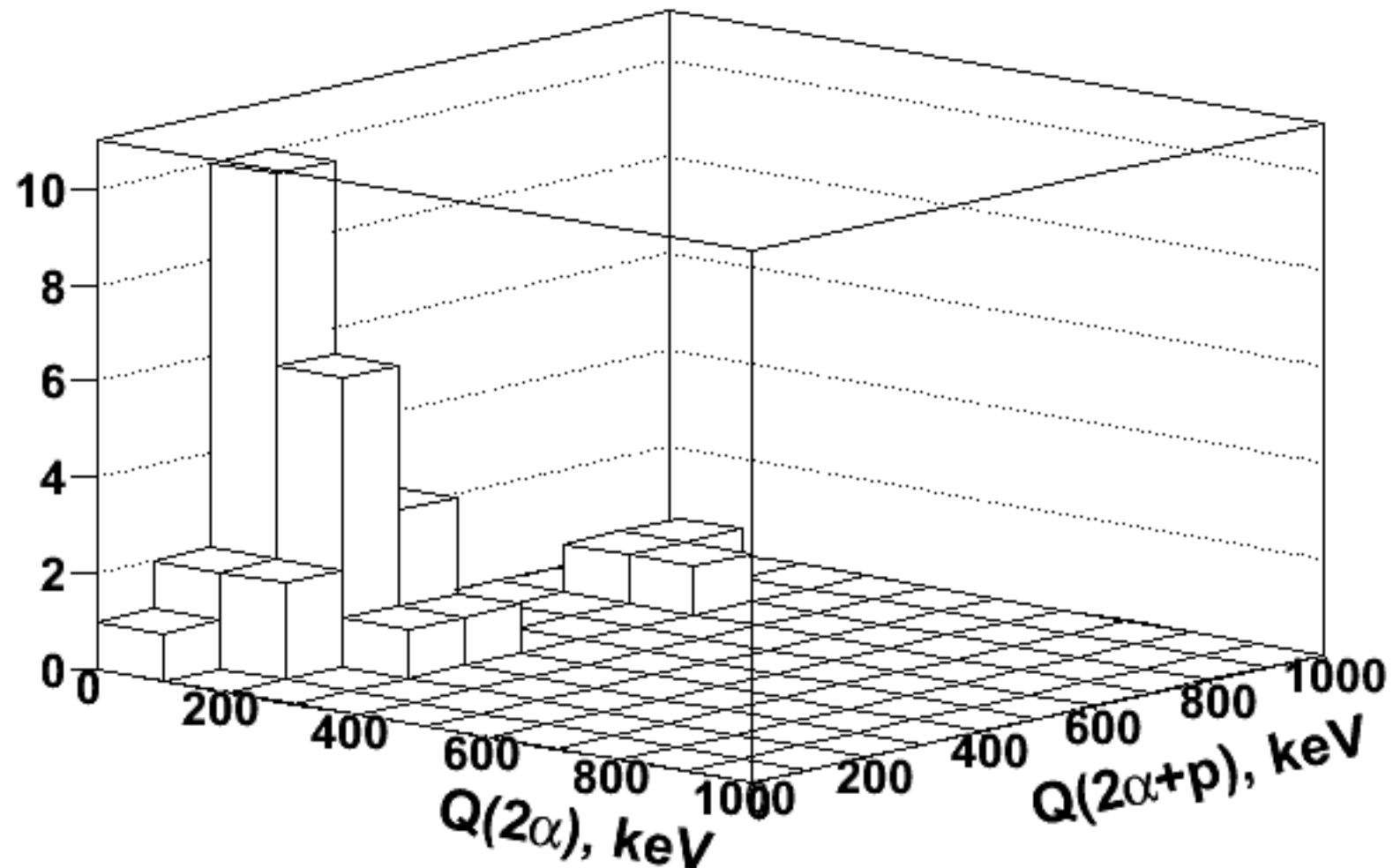
$$M_{2\alpha+p}^2 = -\left[\sum P_i\right]^2$$

$$M(^9B) - 2 \cdot M(^4He) - M(^1H) = 280 \text{ кэВ}$$

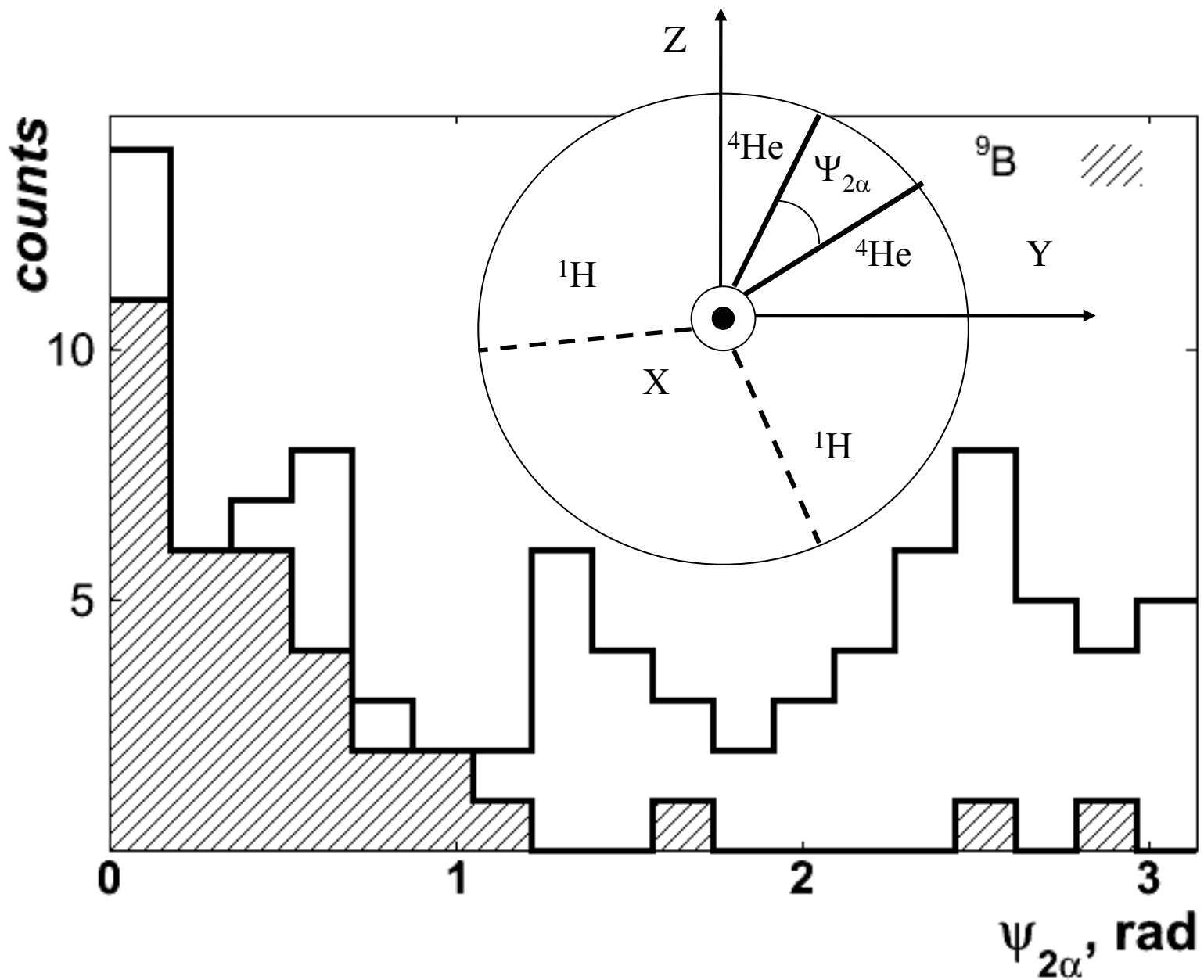
$$Q_{2\alpha+p} = M_{2\alpha+p} - 2 \cdot m_\alpha - m_p$$



**Распределение событий фрагментации по величинам  $Q_{2\alpha}$  и  $Q_{2\alpha+p}$**   
 **$\alpha$ -частиц и протонов**



**Распределение событий фрагментации по величине энергии  
парного азимутального угла  $\alpha$ -частиц**

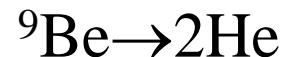


## Восстановленные события $^{10}\text{C} \rightarrow 2\text{He} + 2\text{H}$

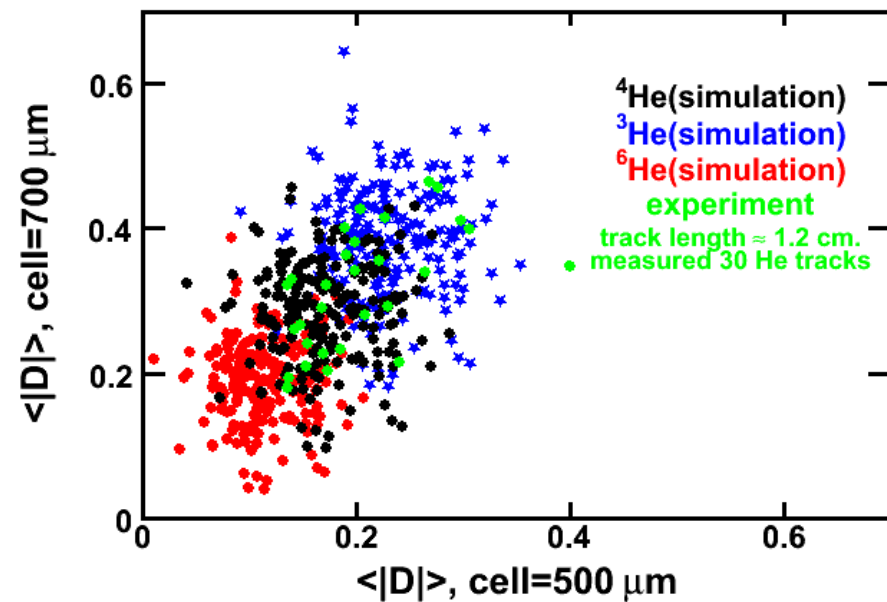
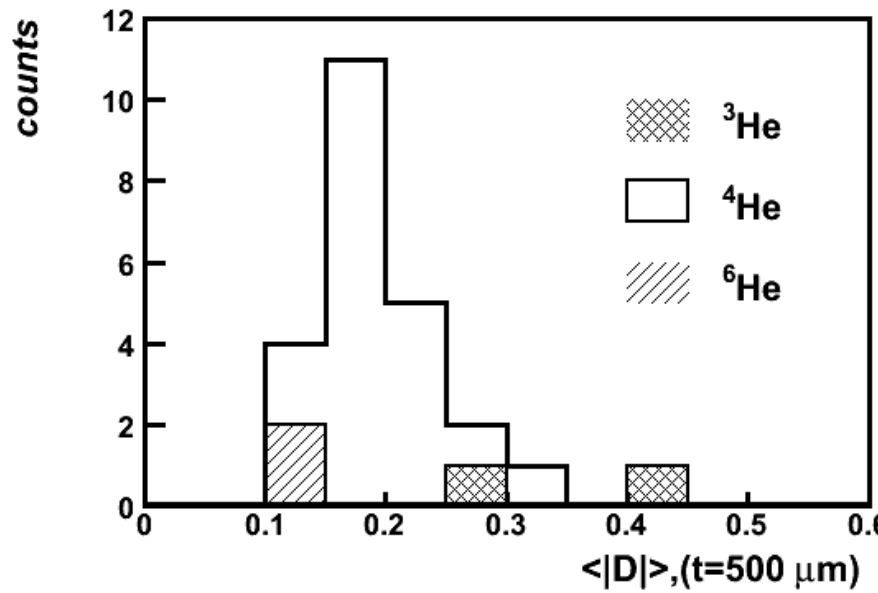
Номер пластиинки	3	6	10
Номер события	175	18	40
Тип события	$^{10}\text{C} \rightarrow 2\alpha + 2p$	$^{10}\text{C} \rightarrow 2\alpha + 2p$	$^{10}\text{C} \rightarrow 2\alpha + 2p$
Углы вылета фрагментов	$\theta(\alpha_1) = 6 \text{ мрад } \Psi(\alpha_1) = 5,2 \text{ рад}$ $\theta(\alpha_2) = 11 \text{ мрад } \Psi(\alpha_2) = 4,9 \text{ рад}$ $\theta(p_1) = 14 \text{ мрад } \Psi(p_1) = 5,0 \text{ рад}$ $\theta(p_2) = 14 \text{ мрад } \Psi(p_2) = 3,4 \text{ рад}$	$\theta(\alpha_1) = 2 \text{ мрад } \Psi(\alpha_1) = 5,7 \text{ рад}$ $\theta(\alpha_2) = 3 \text{ мрад } \Psi(\alpha_2) = 4,0 \text{ рад}$ $\theta(p_1) = 9 \text{ мрад } \Psi(p_1) = 0,4 \text{ рад}$ $\theta(p_2) = 75 \text{ мрад } \Psi(p_2) = 3,2 \text{ рад}$	$\theta(\alpha_1) = 7 \text{ мрад } \Psi(\alpha_1) = 6,1 \text{ рад}$ $\theta(\alpha_2) = 4 \text{ мрад } \Psi(\alpha_2) = 0,2 \text{ рад}$ $\theta(p_1) = 5 \text{ мрад } \Psi(p_1) = 2,2 \text{ рад}$ $\theta(p_2) = 54 \text{ мрад } \Psi(p_2) = 3,5 \text{ рад}$
Поперечный импульс $P_T$	$P_T(\alpha) = 43 \text{ МэВ/c}$ $P_T(\alpha) = 85 \text{ МэВ/c}$ $P_T(p) = 27 \text{ МэВ/c}$ $P_T(p) = 28 \text{ МэВ/c}$	$P_T(\alpha) = 16 \text{ МэВ/c}$ $P_T(\alpha) = 25 \text{ МэВ/c}$ $P_T(p) = 18 \text{ МэВ/c}$ $P_T(p) = 148 \text{ МэВ/c}$	$P_T(\alpha) = 52 \text{ МэВ/c}$ $P_T(\alpha) = 28 \text{ МэВ/c}$ $P_T(p) = 10 \text{ МэВ/c}$ $P_T(p) = 107 \text{ МэВ/c}$
Парный угол	$\Theta_{2\alpha} = 5,8 \text{ мрад}$	$\Theta_{2\alpha} = 4,0 \text{ мрад}$	$\Theta_{2\alpha} = 3,5 \text{ мрад}$
$Q_{2\alpha} = M_{2\alpha} - 2 \cdot m_\alpha$	$Q_{2\alpha} = 146 \text{ КэВ}$	$Q_{2\alpha} = 68 \text{ КэВ}$	$Q_{2\alpha} = 54 \text{ КэВ}$

## Задачи

- ❖ осуществить анализ для «небелых» событий  $^{10}\text{C} \rightarrow 2\text{He} + 2\text{H}$
- ❖ на имеющемся наборе найденных событий  $^{10}\text{C} \rightarrow 2\text{He} + 2\text{H}$  осуществить, там где это возможно, разделение изотопов Н и Не по многократному рассеянию.



$$\langle |D| \rangle = \frac{ZKt^{\frac{3}{2}}}{573 \cdot p \beta c}$$



- ❖ обобщить данные по фрагментации изотопов углерода  $^{9}\text{C}$ ,  $^{9}\text{Be}$ ,  $^{10}\text{C}$ ,  $^{12}\text{C}$  на ядрах фотографической эмульсии.

## **Заключение**

- ❖ В докладе представлено состояние и предварительные результаты исследований фрагментации ядер  $^{9,10}\text{C}$ ,  $^{12}\text{N}$  с энергией 1,2 А ГэВ, полученных на нуклotronе ОИЯИ.
- ❖ Приведено распределение событий  $^{9,10}\text{C}$ ,  $^{12}\text{N}$  по наблюдаемым канал фрагментации.
- ❖ Представлены угловые спектры гелиевых фрагментов для канала  $^{10}\text{C} \rightarrow 2\text{He} + 2\text{H}$ .
- ❖ Проиллюстрирована возможность сравнения результатов исследования  $^{10}\text{C} \rightarrow 2\alpha + 2\text{p}$  с результатами исследований  $^{9}\text{Be} \rightarrow 2\alpha$ ,  $^{12}\text{C} \rightarrow 3\alpha$
- ❖ Приведены задачи дальнейшего исследования.

# Распределение событий фрагментации по величине энергии $Q_{2\alpha+2p}$ $\alpha$ -частиц и протонов

$^{10}\text{C} \rightarrow 2\alpha + 2p$  при условии, что  $\text{He} = ^4\text{He}$ ,  $\text{H} = ^1\text{H}$

